



Министерство науки и высшего образования Российской Федерации
Федеральное государственное бюджетное образовательное учреждение
высшего образования
«Московский государственный технический университет
имени Н.Э. Баумана
(национальный исследовательский университет)»
(МГТУ им. Н.Э. Баумана)

ФАКУЛЬТЕТ

Специальное машиностроение

КАФЕДРА

СМ1 «Космические аппараты и ракеты-носители»

Домашнее задание

по курсу «Основы автоматизированного проектирования»

Вариант №13

Группа: СМ1-81

Студент: Новиков А.Р.

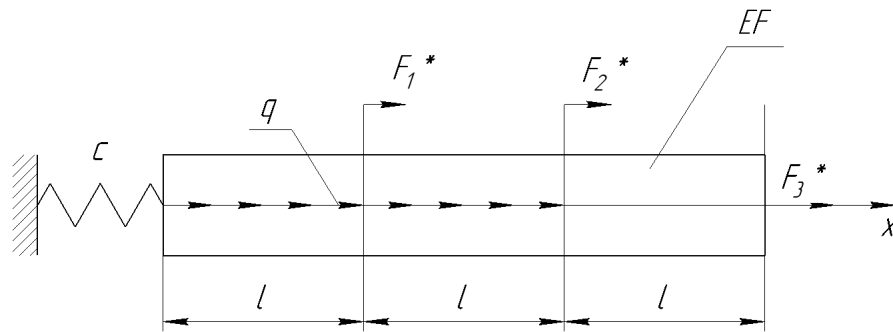
(Подпись, дата)

Преподаватель: Сдобников А.Н.

(Подпись, дата)

$\Pi[u_a]$	$\Pi[u_3]$	2.214%
$-3.76405EF\text{l}$	$-3.68071EF\text{l}$	

Условие



Расчетная схема

Для данной расчетной схемы необходимо:

Часть 1.

1. Сформулировать краевую задачу.
2. Построить точное решение краевой задачи.
3. Преобразовать краевую задачу в вариационный принцип
4. Получить решение энергетическим методом на линейной аппроксимации поля перемещений
5. Дать оценку погрешности по энергии между точным и приближенным решением

Часть 2.

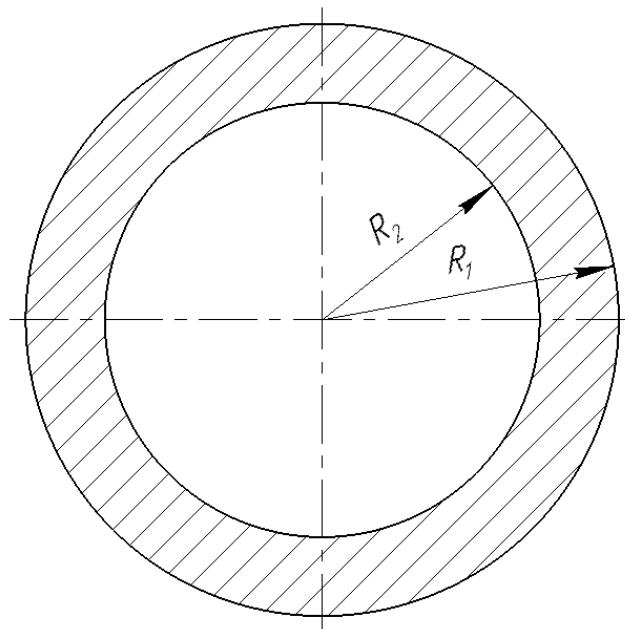
6. Записать разрешающую систему уравнений Метода Конечных Элементов (МКЭ), провести ее анализ и получить «вручную» решение для перемещений и напряжений
7. Выполнить расчет заданной конструкции с использованием пакета MSC Patran_Nastran
8. Провести сравнительный анализ результатов, полученных методами, использованными в работе.
9. Подготовить отчет по результатам проведенных исследований

Согласно варианту №13 имеем следующие исходные данные:

$$\left\{ \begin{array}{l} \frac{cl}{EF} = 7 \\ \frac{ql}{EF} = 1 \\ \frac{F_1^*}{EF} = 0 \\ \frac{F_2^*}{EF} = 0.5 \\ \frac{F_3^*}{EF} = 0.2 \end{array} \right. \quad (0.1)$$

При выполнении численных расчетов принять следующие значения параметров:

- Размеры поперечного сечения: $R_1 = 150$ мм, $R_2 = 110$ мм



Поперечное сечение

- Длина участка $l = 0.5$ м
- Для варианта №13 материал: АМг ($E = 7.31 \cdot 10^{10}$ Па; $\nu = 0.33$)

Решение

1 Формулировка краевой задачи

Введем начало координат в точке А. Отрежем пружину, заменим реакцией:

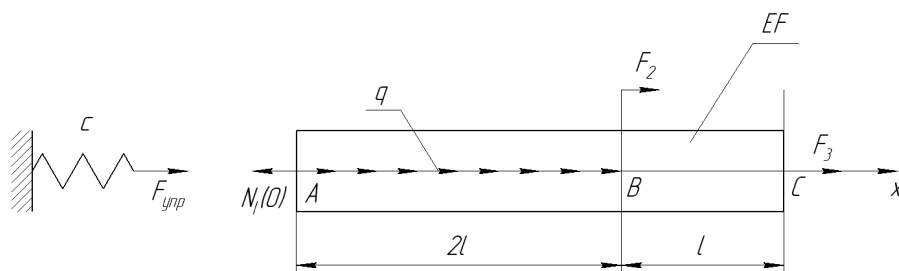


Рисунок 1.1 — Расчетная схема

Сила упругости пружины равна:

$$F_{\text{упр}} = c \cdot u(0) \quad (1.1)$$

Разобьем стержень на 2 участка и запишем для них дифференциальное уравнение равновесия:

1. Участок AB:

$$EFu_I''(x) + q = 0 \quad (1.2)$$

2. Участок BC:

$$EFu_{II}''(x) = 0 \quad (1.3)$$

Для записи граничных условий рассмотрим равновесие сечений:

1. Сечение A:

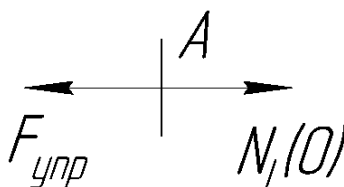


Рисунок 1.2 — К записи условий равновесия сечения A

$$\Sigma F_x = 0 \quad (1.4)$$

$$F_{\text{упр}} = N_I(0) \quad (1.5)$$

$$cu_I(0) = EFu_I'(0) \quad (1.6)$$

2. Сечение B:

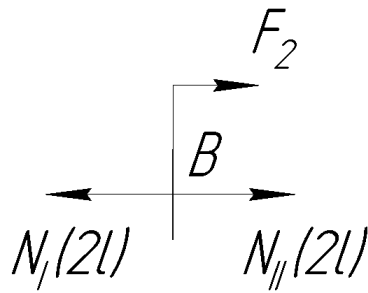


Рисунок 1.3 — К записи условий равновесия сечения B

$$\Sigma F_x = 0 \quad (1.7)$$

$$N_I(2l) = F_2 + N_{II}(2l) \quad (1.8)$$

$$EFu'_I(2l) = F_2 + EFu'_{II}(2l) \quad (1.9)$$

3. Сечение C :

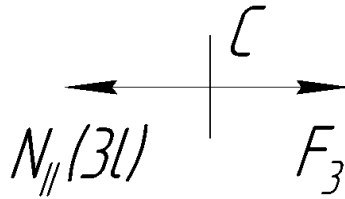


Рисунок 1.4 — К записи условия равновесия сечения C

$$\Sigma F_x = 0 \quad (1.10)$$

$$N_{II}(3l) = F_3 \quad (1.11)$$

$$EFu'_{II}(3l) = F_3 \quad (1.12)$$

После нагружения в новом состоянии равновесия выполняется условие неразрывности перемещений, т.е.:

$$u_I(2l) = u_{II}(2l) \quad (1.13)$$

Получим следующие результаты формулировки краевой задачи:

$$\left\{ \begin{array}{l} EFu_I''(x) + q = 0 \\ EFu_{II}''(x) = 0 \\ cu_I(0) = EFu_I'(0) \\ EFu_I'(2l) = F_2 + EFu_{II}'(2l) \\ EFu_{II}'(3l) = F_3 \\ u_I(2l) = u_{II}(2l) \end{array} \right. \quad (1.14)$$

2 Построение точного решения краевой задачи

Проинтегрируем дифференциальные уравнения равновесия (1.2) и (1.3):

1. Участок AB :

$$u_I''(x) = -\frac{q}{EF} \quad (2.1)$$

$$u_I'(x) = -\frac{qx}{EF} + C_1 \quad (2.2)$$

$$u_I(x) = -\frac{qx^2}{2EF} + C_1x + C_2 \quad (2.3)$$

2. Участок BC :

$$u_{II}''(x) = 0 \quad (2.4)$$

$$u_{II}'(x) = C_3 \quad (2.5)$$

$$u_{II}(x) = C_3x + C_4 \quad (2.6)$$

Подставим полученные выражения в уравнения 3-6 системы (1.14):

$$\left\{ \begin{array}{l} c \cdot C_2 = EF \cdot C_1 \\ EF \cdot \left(-\frac{2ql}{EF} + C_1\right) = F_2 + EF \cdot C_3 \\ EF \cdot C_3 = F_3 \\ -\frac{2ql^2}{EF} + 2C_1l + C_2 = 2C_3l + C_4 \end{array} \right. \quad (2.7)$$

Найдем константы интегрирования:

$$C_3 = \frac{F_3}{EF} = 0.2 \quad (2.8)$$

$$-2ql + EFC_1 = F_2 + 0.2EF \quad (2.9)$$

$$C_1 = \frac{F_2 + 2ql}{EF} + 0.2 = 0.5 + 2 + 0.2 = 2.7 \quad (2.10)$$

$$C_2 = \frac{EFC_1}{c} = \frac{C_1 l}{7} = 0.386l \quad (2.11)$$

$$C_4 = -\frac{2ql^2}{EF} + 2(C_1 - C_3)l + C_2 = -2l + 2 \cdot 2.5l + 0.386l = 3.386l \quad (2.12)$$

Получим итоговые функции перемещения:

$$\begin{cases} u_I(x) = -\frac{x^2}{2l} + 2.7x + 0.386l, & 0 \leq x \leq 2l \\ u_{II}(x) = 0.2x + 3.386l, & 2l \leq x \leq 3l \end{cases} \quad (2.13)$$

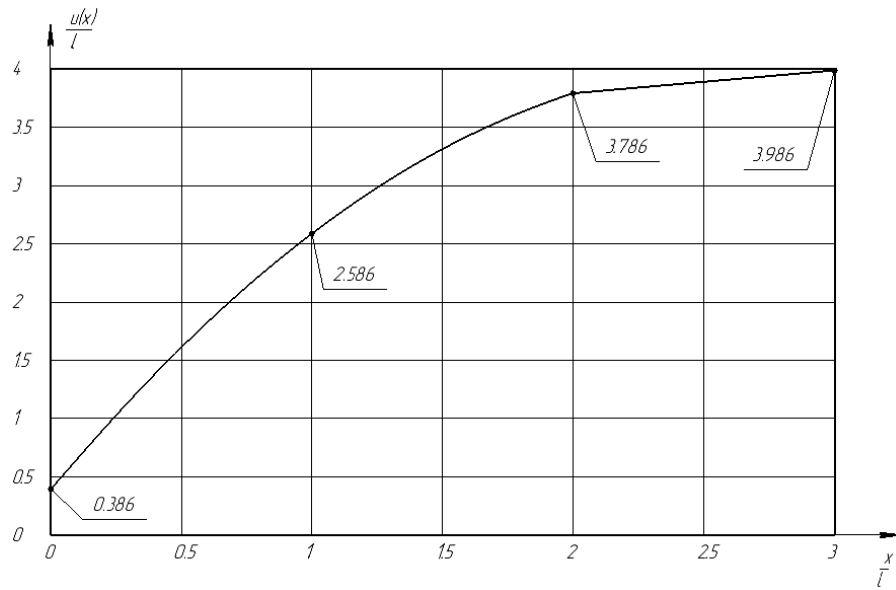


Рисунок 2.1 — График перемещений

Получим функции нормальной силы N :

$$N = EFu'(x) \quad (2.14)$$

$$\begin{cases} u'_I(x) = -\frac{x}{l} + 2.7 \\ u'_{II}(x) = 0.2 \end{cases} \quad (2.15)$$

$$\begin{cases} N_I(x) = (-\frac{x}{l} + 2.7)EF, & 0 \leq x \leq 2l \\ N_{II}(x) = 0.2EF, & 2l \leq x \leq 3l \end{cases} \quad (2.16)$$

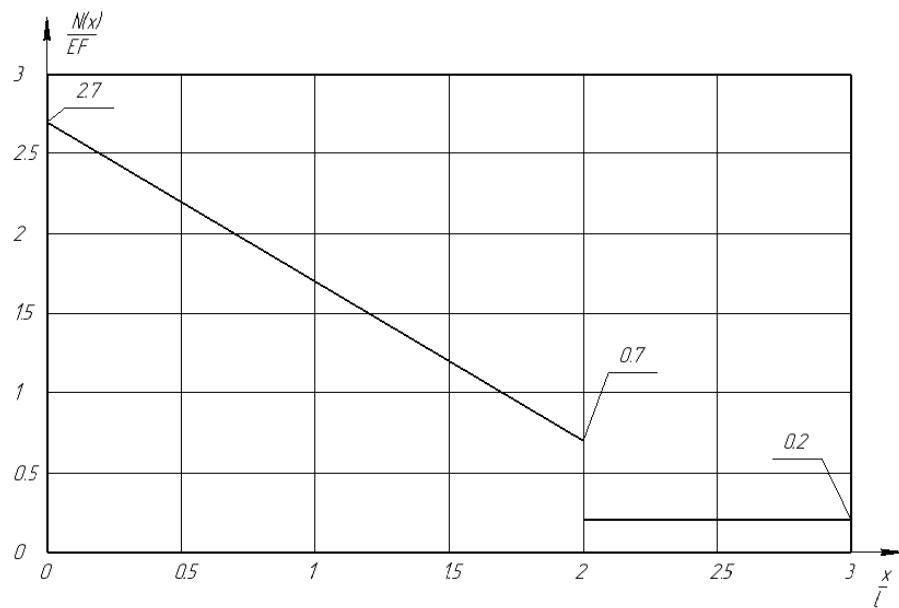


Рисунок 2.2 — График нормальной силы N

Получим функции нормальных напряжений $\sigma(x)$:

$$\sigma(x) = \frac{N(x)}{F} \quad (2.17)$$

$$\begin{cases} \sigma_I(x) = \left(-\frac{x}{l} + 2.7\right)E, & 0 \leq x \leq 2l \\ \sigma_{II}(x) = 0.2E, & 2l \leq x \leq 3l \end{cases} \quad (2.18)$$

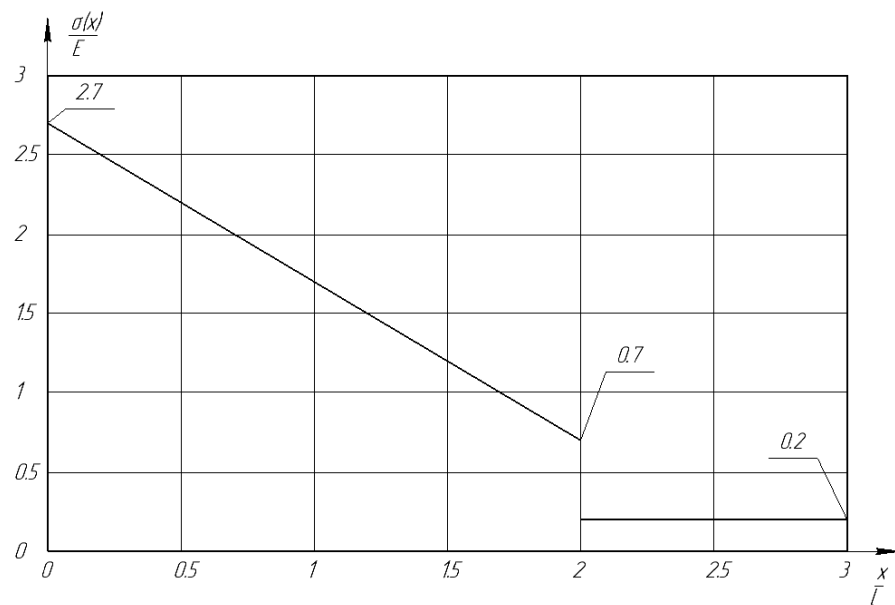


Рисунок 2.3 — График нормальных напряжений

3 Преобразование краевой задачи в вариационный принцип

Запишем невязку дифференциального уравнения краевой задачи (1.14):

- для участка AB :

$$L[u_I] = EFu_I''(x) + q \quad (3.1)$$

- для участка BC :

$$L[u_{II}] = EFu_{II}''(x) \quad (3.2)$$

В операторной форме невязка выглядит следующим образом:

$$L[u] = Au - f \quad (3.3)$$

где $A = EF \frac{d^2}{dx^2}$ — дифференциальный оператор краевой задачи, $f = -q$.

Запишем условие аннулирования невязки:

$$\int_0^L L[u] \varphi_k(x) dx = 0, \quad k = 1, 2, 3 \dots \infty \quad (3.4)$$

где $u(x)$ имеет вид:

$$u(x) = \sum_{i=1}^{\infty} \alpha_i \varphi_i(x) \quad (3.5)$$

где $\varphi_i(x)$ — базисные функции, α_i — некоторые коэффициенты.

Выражение (3.4) представляет собой систему уравнений

$$\begin{cases} \int_0^L L[u] \varphi_1(x) dx = 0 \\ \int_0^L L[u] \varphi_2(x) dx = 0 \\ \dots \\ \int_0^L L[u] \varphi_n(x) dx = 0 \end{cases} \quad (3.6)$$

Эти уравнения можно привести к удобному для рассмотрения виду. Для этого запишем вариацию (3.5):

$$\delta u = \sum_{i=1}^{\infty} \delta \alpha_i \varphi_i \quad (3.7)$$

Уравнения (3.6) умножим на $\delta \alpha_i$ соответственно и сложим:

$$\int_0^L L[u] \left(\sum_{i=1}^{\infty} \delta \alpha_i \varphi_i \right) dx = 0 \quad (3.8)$$

$$\int_0^L L[u] \delta u dx = 0 \quad (3.9)$$

Запишем вариационное уравнение (3.9) для нашей задачи:

$$\int_0^{2l} (EFu_I''(x) + q) \delta u_I(x) dx + \int_{2l}^{3l} EFu_{II}''(x) \delta u_{II}(x) dx = 0 \quad (3.10)$$

$$\int_0^{2l} EFu_I''(x) \delta u_I(x) dx + \int_{2l}^{3l} EFu_{II}''(x) \delta u_{II}(x) dx + \int_0^{2l} q \delta u(x) dx = 0 \quad (3.11)$$

Преобразуем первые 2 слагаемых:

$$\int_0^{2l} EFu_I''(x) \delta u_I(x) dx = \int_0^{2l} EF \delta u_I du_I' = EFu_I' \delta u_I \Big|_0^{2l} - \int_0^{2l} EFu_I' \delta u_I' dx \quad (3.12)$$

$$\int_{2l}^{3l} EFu_{II}''(x) \delta u_{II}(x) dx = \int_{2l}^{3l} EF \delta u_{II} du_{II}' = EFu_{II}' \delta u_{II} \Big|_{2l}^{3l} - \int_{2l}^{3l} EFu_{II}' \delta u_{II}' dx \quad (3.13)$$

Подставим (3.12) и (3.13) в (3.11):

$$\begin{aligned} & EFu_I'(2l) \delta u_I(2l) - EFu_I'(0) \delta u_I(0) - \int_0^{2l} EFu_I' \delta u_I' dx + EFu_{II}'(3l) \delta u_{II}(3l) - \\ & - EFu_{II}'(2l) \delta u_{II}(2l) - \int_{2l}^{3l} EFu_{II}' \delta u_{II}' dx + \int_0^{2l} q \delta u_I dx = 0 \end{aligned} \quad (3.14)$$

Учтем граничные условия из формулировки краевой задачи (1.14) и условие $\delta u_I(2l) = \delta u_{II}(2l)$:

$$\begin{aligned} & F_2 \delta u_I(2l) - cu_I(0) \delta u_I(0) + F_3 \delta u_{II}(3l) - \\ & - \int_0^{2l} EFu_I' \delta u_I' dx - \int_{2l}^{3l} EFu_{II}' \delta u_{II}' dx + \int_0^{2l} q \delta u_I dx = 0 \end{aligned} \quad (3.15)$$

Преобразуем (3.15), используя правила варьирования:

$$\begin{aligned} & \delta \left[\frac{1}{2} \int_0^{2l} EFu_I'^2 dx + \frac{1}{2} \int_{2l}^{3l} EFu_{II}'^2 dx - \int_0^{2l} qu_I dx + \frac{1}{2} cu_I^2(0) - F_2 u_I(2l) - \right. \\ & \left. - F_3 u_{II}(3l) \right] = 0 \end{aligned} \quad (3.16)$$

Тогда функционал полной потенциальной энергии равен:

$$\begin{aligned} \Pi[u_I, u_{II}] = & \frac{1}{2} \int_0^{2l} EFu_I'^2 dx + \frac{1}{2} \int_{2l}^{3l} EFu_{II}'^2 dx - \int_0^{2l} qu_I dx + \frac{1}{2} cu_I^2(0) - F_2 u_I(2l) - \\ & - F_3 u_{II}(3l) \end{aligned} \quad (3.17)$$

и выражение (3.16) можно переписать в виде:

$$\delta \Pi = 0 \quad (3.18)$$

Выражение (3.18) является условием стационарности функционала полной потенциальной энергии, которое согласно принципу Лагранжа выполняется на точном решении краевой задачи.

4 Получение решения энергетическим методом на линейной аппроксимации поля перемещений

Аппроксимируем поле перемещений кусочно-линейными функциями:

- Первый участок (первая половина AB)

$$u_I(x) = u_0 + \frac{u_1 - u_0}{l}x, \quad 0 \leq x \leq l \quad (4.1)$$

где $u_0 = u(0)$, $u_1 = u(l)$.

- Вторым участком (вторая половина AB)

Введем новую систему координат $O\tilde{x}$ с началом в точке $x = l$. Тогда

$$u_{II}(\tilde{x}) = u_1 + \frac{u_2 - u_1}{l}\tilde{x}, \quad 0 \leq \tilde{x} \leq l \quad (4.2)$$

где $u_2 = u(2l)$.

- Третьим участком (BC)

Введем новую систему координат $O\hat{x}$ с началом в точке $x = 2l$. Тогда

$$u_{III}(\hat{x}) = u_2 + \frac{u_3 - u_2}{l}\hat{x}, \quad 0 \leq \hat{x} \leq l \quad (4.3)$$

где $u_3 = u(3l)$

Получим следующий функционал:

$$\begin{aligned} \Pi[u_I, u_{II}, u_{III}] = & \frac{1}{2} \int_0^l EF u_I'^2(x) dx + \frac{1}{2} \int_0^l EF u_{II}'^2(\tilde{x}) d\tilde{x} + \frac{1}{2} \int_0^l EF u_{III}'^2(\hat{x}) d\hat{x} - \\ & - \int_0^l qu_I(x) dx - \int_0^l qu_{II}(\tilde{x}) d\tilde{x} + \frac{1}{2} cu_0^2 - F_2 u_2 - F_3 u_3 \end{aligned} \quad (4.4)$$

Найдем производные функций перемещения:

$$u_I'(x) = \frac{u_1 - u_0}{l} \quad (4.5)$$

$$u_{II}'(\tilde{x}) = \frac{u_2 - u_1}{l} \quad (4.6)$$

$$u'_{III}(\hat{x}) = \frac{u_3 - u_2}{l} \quad (4.7)$$

Подставим (4.5) и (4.6) в функционал (4.4):

$$\begin{aligned} \Pi[u_0, u_1, u_2, u_3] = & \frac{1}{2}EF \left[\left(\frac{u_1 - u_0}{l} \right)^2 \cdot l + \left(\frac{u_2 - u_1}{l} \right)^2 \cdot l + \left(\frac{u_3 - u_2}{l} \right)^2 \cdot l \right] - \\ & - q \left((u_0 + u_1)l + \frac{u_2 - u_0}{l} \frac{l^2}{2} \right) + \frac{1}{2}cu_0^2 - F_2u_2 - F_3u_3 \end{aligned} \quad (4.8)$$

Запишем условие стационарности функционала (4.8):

$$\begin{cases} \frac{\partial \Pi}{\partial u_0} = 0 \\ \frac{\partial \Pi}{\partial u_1} = 0 \\ \frac{\partial \Pi}{\partial u_2} = 0 \\ \frac{\partial \Pi}{\partial u_3} = 0 \end{cases} \quad (4.9)$$

Распишем выражения (4.9):

$$\frac{(u_1 - u_0)EF}{l} = u_0c - \frac{ql}{2} \quad (4.10)$$

$$\frac{(2u_1 - u_0 - u_2)EF}{l} = ql \quad (4.11)$$

$$\frac{(4u_2 - 2u_1 - 2u_3)EF}{2l} = F_2 + \frac{ql}{2} \quad (4.12)$$

$$\frac{(u_3 - u_2)EF}{l} = F_3 \quad (4.13)$$

Из (4.10) выразим u_1 :

$$u_1 = u_0 \left(1 + \frac{cl}{EF} \right) - \frac{ql^2}{2EF} \quad (4.14)$$

Подставим (4.14) в (4.11) и выразим u_2 :

$$u_2 = u_0 \left(1 + \frac{2cl}{EF} \right) - \frac{2ql^2}{EF} \quad (4.15)$$

Подставим (4.15) и (4.14) в (4.12) и выразим u_3 :

$$u_3 = u_0 \left(1 + \frac{3cl}{EF} \right) - \frac{4ql^2 + F_2l}{EF} \quad (4.16)$$

Подставим (4.16) в (4.15) в (4.13) и найдем u_0 :

$$u_0 = \frac{2ql + F_2 + F_3}{c} \quad (4.17)$$

Найдем оставшиеся коэффициенты:

$$u_1 = \frac{(3ql + 2F_2 + 2F_3)l}{2EF} + \frac{2ql + F_2 + F_3}{c} \quad (4.18)$$

$$u_2 = \frac{(2ql + 2F_2 + 2F_3)l}{EF} + \frac{2ql + F_2 + F_3}{c} \quad (4.19)$$

$$u_3 = \frac{(2ql + 2F_2 + 3F_3)l}{EF} + \frac{2ql + F_2 + F_3}{c} \quad (4.20)$$

Подставим исходные данные (0.1) в полученные выражения:

$$u_0 = 0.386l \quad (4.21)$$

$$u_1 = 2.586l \quad (4.22)$$

$$u_2 = 3.786l \quad (4.23)$$

$$u_3 = 3.986l \quad (4.24)$$

Получим итоговые выражения для функций перемещений:

$$u_I(x) = 2.2x + 0.386l, \quad 0 \leq x \leq 2l \quad (4.25)$$

$$u_{II}(\tilde{x}) = 1.2\tilde{x} + 2.586l, \quad 0 \leq \tilde{x} \leq l \quad (4.26)$$

или

$$u_{II}(x) = 1.2x + 1.386l, \quad l \leq x \leq 2l \quad (4.27)$$

$$u_{III}(\hat{x}) = 0.2\hat{x} + 3.786l, \quad 0 \leq \hat{x} \leq l \quad (4.28)$$

или

$$u_{III}(x) = 0.2x + 3.386l, \quad 2l \leq x \leq 3l \quad (4.29)$$

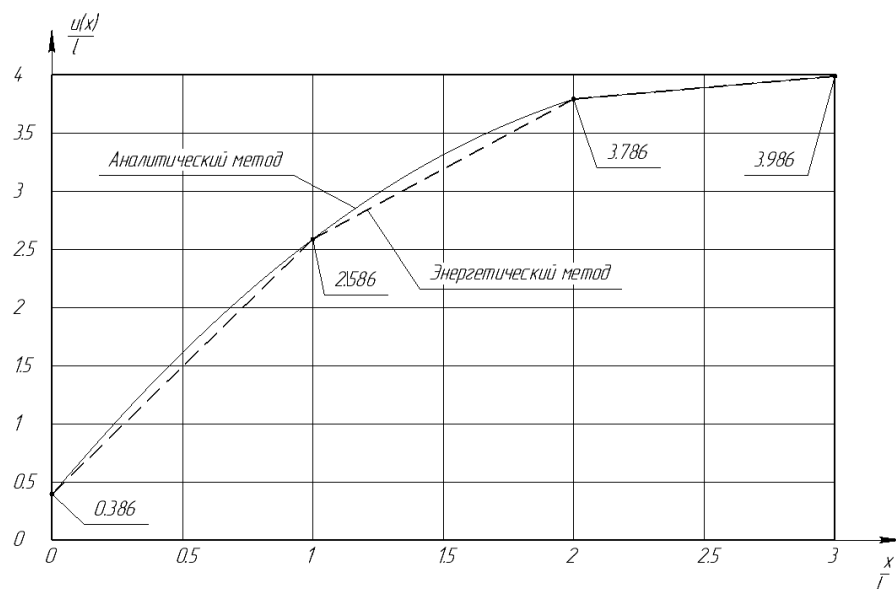


Рисунок 4.1 — График перемещений, полученных энергетическим и аналитическим методом

Найдем внутренние усилия:

$$N(x) = EFu'(x) \quad (4.30)$$

$$N_I(x) = 2.2EF, \quad 0 \leq x \leq l \quad (4.31)$$

$$N_{II}(x) = 1.2EF, \quad l \leq x \leq 2l \quad (4.32)$$

$$N_{III}(x) = 0.2EF, \quad 2l \leq x \leq 3l \quad (4.33)$$

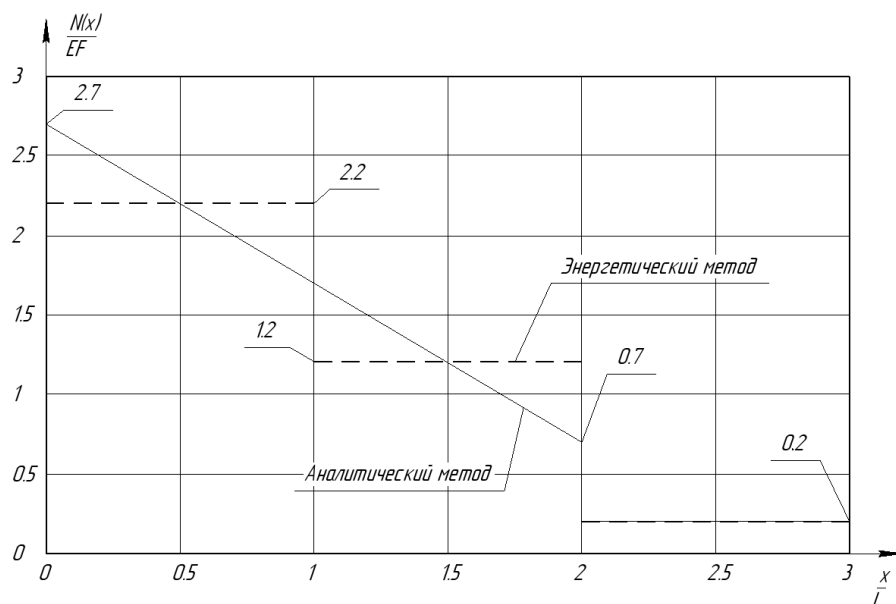


Рисунок 4.2 — График нормальной силы, полученной энергетическим и аналитическим методами

Найдем нормальные напряжения:

$$\sigma(x) = \frac{N(x)}{F} \quad (4.34)$$

$$\sigma_I(x) = 2.2E, \quad 0 \leq x \leq l \quad (4.35)$$

$$\sigma_{II}(x) = 1.2E, \quad l \leq x \leq 2l \quad (4.36)$$

$$\sigma_{III}(x) = 0.2E, \quad 2l \leq x \leq 3l \quad (4.37)$$

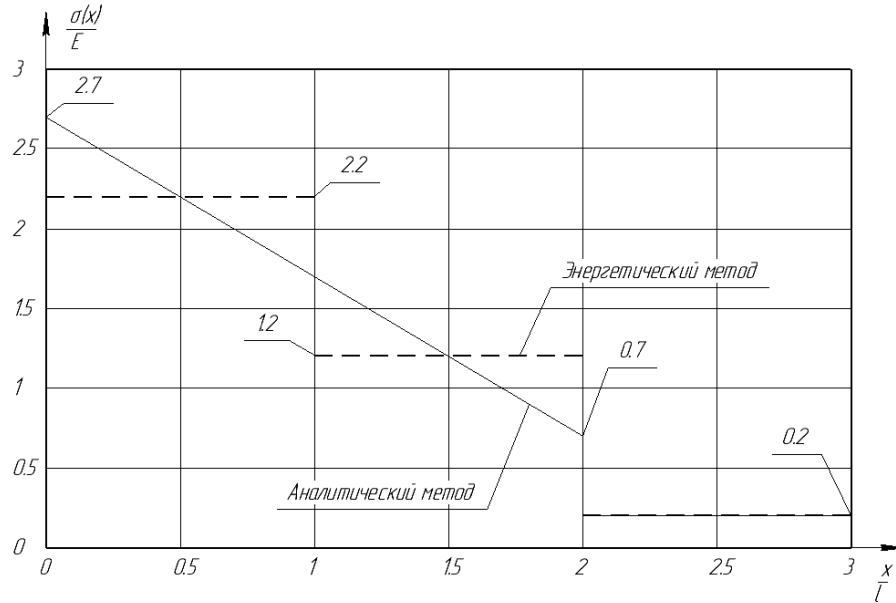


Рисунок 4.3 — График нормальных напряжений, полученных энергетическим и аналитическим методами

5 Оценка погрешности по энергии между точным и приближенным решением

Запишем выражение для функционала полной потенциальной энергии на приближенном решении:

$$\begin{aligned} \Pi[u_0, u_1, u_2, u_3] = & \frac{1}{2}EF \left[\left(\frac{u_1 - u_0}{l} \right)^2 \cdot l + \left(\frac{u_2 - u_1}{l} \right)^2 \cdot l + \left(\frac{u_3 - u_2}{l} \right)^2 \cdot l \right] - \\ & - q \left((u_0 + u_1)l + \frac{u_2 - u_0}{l} \frac{l^2}{2} \right) + \frac{1}{2}cu_0^2 - F_2u_2 - F_3u_3 \end{aligned} \quad (5.1)$$

Подставим в (5.1) значения (4.21), (4.22), (4.23) и (0.1) и получим:

$$\Pi_3 = \Pi[u_0, u_1, u_2, u_3] = -3.68071EF l \quad (5.2)$$

Запишем выражение для функционала полной функциональной энергии на точном решении, используя выражения (2.13):

$$\Pi[u_I, u_{II}] = \frac{1}{2} \int_0^{2l} EF u_I'^2 dx + \frac{1}{2} \int_{2l}^{3l} EF u_{II}'^2 dx - \int_0^{2l} q u_I dx + \frac{1}{2} c u_I^2(0) - F_2 u_I(2l) - F_3 u_{II}(3l) \quad (5.3)$$

$$\Pi_a = \Pi[u_I, u_{II}] = -3.76405 EFl \quad (5.4)$$

Расчитаем погрешность:

$$\Delta = \left| \frac{\Pi_э - \Pi_a}{\Pi_a} \right| \cdot 100\% = 2.214\% \quad (5.5)$$

6 Запись разрешающей системы уравнений МКЭ, проведение ее анализа и получение «вручную» решения для перемещений и напряжений

Разрешающую систему МКЭ получим методом равновесия узлов. Для этого составим дискретную модель. За конечный элемент возьмем каждый участок длиной l :

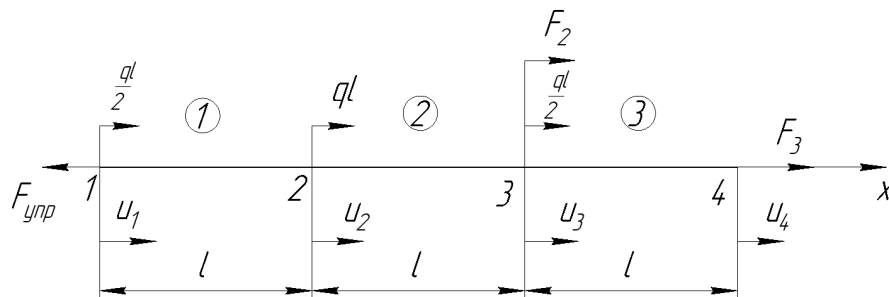


Рисунок 6.1 — Дискретная модель

Разрежем модель на конечные элементы и узлы:

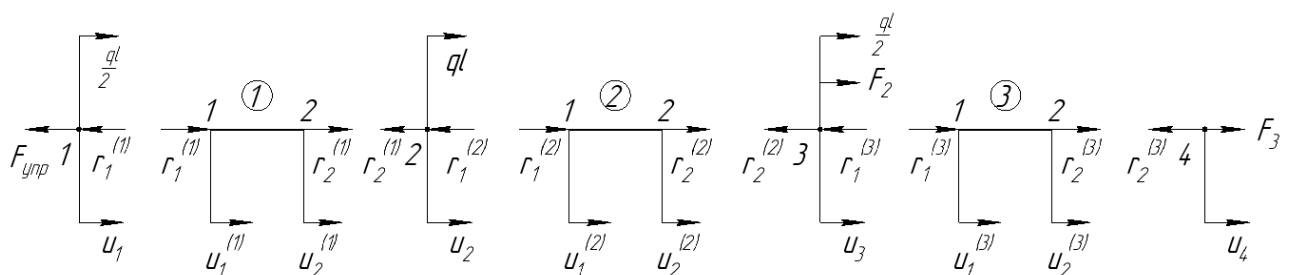


Рисунок 6.2 — Разбиение дискретной модели на узлы и КЭ

Запишем условие равновесия для i -го КЭ:

$$\frac{EF}{l} \begin{bmatrix} 1 & -1 \\ -1 & 1 \end{bmatrix} \begin{Bmatrix} u_1^{(i)} \\ u_2^{(i)} \end{Bmatrix} = \begin{Bmatrix} r_1^{(i)} \\ r_2^{(i)} \end{Bmatrix} \quad (6.1)$$

или в обычном виде:

$$\begin{cases} \frac{EF}{l}(u_1^{(i)} - u_2^{(i)}) = r_1^{(i)} \\ \frac{EF}{l}(u_2^{(i)} - u_1^{(i)}) = r_2^{(i)} \end{cases} \quad (6.2)$$

Запишем условия равновесия узлов:

$$\begin{cases} F_{\text{упр}} + r_1^{(1)} - \frac{ql}{2} = 0 \\ r_2^{(1)} + r_1^{(2)} - ql = 0 \\ r_2^{(2)} + r_1^{(3)} - F_2 - \frac{ql}{2} = 0 \\ r_2^{(3)} - F_3 = 0 \end{cases} \quad (6.3)$$

Подставим (6.2) в (6.3) и учтем, что $F_{\text{упр}} = c \cdot u_1$:

$$\begin{cases} cu_1 + \frac{EF}{l}(u_1^{(1)} - u_2^{(1)}) - \frac{ql}{2} = 0 \\ \frac{EF}{l}(u_2^{(1)} - u_1^{(1)}) + \frac{EF}{l}(u_1^{(2)} - u_2^{(2)}) - ql = 0 \\ \frac{EF}{l}(u_2^{(2)} - u_1^{(2)}) + \frac{EF}{l}(u_1^{(3)} - u_2^{(3)}) - F_2 - \frac{ql}{2} = 0 \\ \frac{EF}{l}(u_2^{(3)} - u_1^{(3)}) - F_3 = 0 \end{cases} \quad (6.4)$$

Объединим все элементы в единую систему. Тогда будут выполняться следующие соотношения:

$$\begin{cases} u_1^{(1)} = u_1 \\ u_2^{(1)} = u_1^{(2)} = u_2 \\ u_2^{(2)} = u_1^{(3)} = u_3 \\ u_2^{(3)} = u_4 \end{cases} \quad (6.5)$$

Подставим (6.5) в (6.4):

$$\begin{cases} cu_1 + \frac{EF}{l}(u_1 - u_2) - \frac{ql}{2} = 0 \\ \frac{EF}{l}(u_2 - u_1) + \frac{EF}{l}(u_2 - u_3) - ql = 0 \\ \frac{EF}{l}(u_3 - u_2) + \frac{EF}{l}(u_3 - u_4) - F_2 - \frac{ql}{2} = 0 \\ \frac{EF}{l}(u_4 - u_3) - F_3 = 0 \end{cases} \quad (6.6)$$

Сгруппируем коэффициенты при одинаковых перемещениях и перенесем нагрузку в правую часть:

$$\begin{cases} (c + \frac{EF}{l})u_1 - \frac{EF}{l}u_2 = \frac{ql}{2} \\ -\frac{EF}{l}u_1 + 2\frac{EF}{l}u_2 - \frac{EF}{l}u_3 = ql \\ -\frac{EF}{l}u_2 + 2\frac{EF}{l}u_3 - \frac{EF}{l}u_4 = F_2 + \frac{ql}{2} \\ -\frac{EF}{l}u_3 + \frac{EF}{l}u_4 = F_3 \end{cases} \quad (6.7)$$

Запишем (6.7) в матричном виде:

$$\begin{bmatrix} c + \frac{EF}{l} & -\frac{EF}{l} & 0 & 0 \\ -\frac{EF}{l} & 2\frac{EF}{l} & -\frac{EF}{l} & 0 \\ 0 & -\frac{EF}{l} & 2\frac{EF}{l} & -\frac{EF}{l} \\ 0 & 0 & -\frac{EF}{l} & \frac{EF}{l} \end{bmatrix} \cdot \begin{pmatrix} u_1 \\ u_2 \\ u_3 \\ u_4 \end{pmatrix} = \begin{pmatrix} \frac{ql}{2} \\ ql \\ F_2 + \frac{ql}{2} \\ F_3 \end{pmatrix} \quad (6.8)$$

Разделим (6.8) на $\frac{EF}{l}$ учитывая (0.1):

$$\begin{bmatrix} 8 & -1 & 0 & 0 \\ -1 & 2 & -1 & 0 \\ 0 & -1 & 2 & -1 \\ 0 & 0 & -1 & 1 \end{bmatrix} \cdot \begin{pmatrix} u_1 \\ u_2 \\ u_3 \\ u_4 \end{pmatrix} = \begin{pmatrix} \frac{l}{2} \\ l \\ l \\ 0.2l \end{pmatrix} \quad (6.9)$$

Искать решения для системы (6.9) будем методом Крамера:

$$u_i = \frac{\Delta_i}{\Delta} \quad (6.10)$$

$$\Delta = \begin{vmatrix} 8 & -1 & 0 & 0 \\ -1 & 2 & -1 & 0 \\ 0 & -1 & 2 & -1 \\ 0 & 0 & -1 & 1 \end{vmatrix} = 8 \cdot \begin{vmatrix} 2 & -1 & 0 \\ -1 & 2 & -1 \\ 0 & -1 & 1 \end{vmatrix} + 1 \cdot \begin{vmatrix} -1 & -1 & 0 \\ 0 & 2 & -1 \\ 0 & -1 & 1 \end{vmatrix} = \quad (6.11)$$

$$= 8 \cdot [2 \cdot (2 - 1) + 1(-1)] + (-1)(2 - 1) + 1 \cdot 0 = 8 - 1 = 7$$

$$\Delta_1 = \begin{vmatrix} \frac{l}{2} & -1 & 0 & 0 \\ l & 2 & -1 & 0 \\ l & -1 & 2 & -1 \\ 0.2l & 0 & -1 & 1 \end{vmatrix} = \frac{l}{2} [2 \cdot (2 - 1) + 1 \cdot (-1)] + 1 \cdot [l \cdot (2 - 1) + 1 \cdot (l + 0.2l)] = \quad (6.12)$$

$$= 0.5l + 2.2l = 2.7l$$

$$\Delta_2 = \begin{vmatrix} 8 & \frac{l}{2} & 0 & 0 \\ -1 & l & -1 & 0 \\ 0 & l & 2 & -1 \\ 0 & 0.2l & -1 & 1 \end{vmatrix} = 8 \cdot [l \cdot (2 - 1) + 1 \cdot (l + 0.2l)] - 0.5l \cdot [-1 \cdot (2 - 1) + 1 \cdot (0)] =$$

$$= 8 \cdot (l + 1.2l) - 0.5l \cdot (-1) = 18.1l \quad (6.13)$$

$$\Delta_3 = \begin{vmatrix} 8 & -1 & \frac{l}{2} & 0 \\ -1 & 2 & l & 0 \\ 0 & -1 & l & -1 \\ 0 & 0 & 0.2l & 1 \end{vmatrix} = -0.2l \cdot [1 \cdot 0 - 1 \cdot (8 \cdot 2 - 1)] + 1 \cdot [1 \cdot (8l + 0.5l) + l \cdot (8 \cdot 2 - 1)] =$$

$$= -0.2l \cdot (-15) + 8.5l + 15l = 26.5l \quad (6.14)$$

$$\Delta_4 = \begin{vmatrix} 8 & -1 & 0 & \frac{l}{2} \\ -1 & 2 & -1 & l \\ 0 & -1 & 2 & l \\ 0 & 0 & -1 & 0.2l \end{vmatrix} = 1 \cdot [1 \cdot (8l + 0.5l) + l \cdot (8 \cdot 2 - 1)] + 0.2l \cdot [1 \cdot (-8) + 2 \cdot (8 \cdot 2 - 1)] =$$

$$= 8.5l + 15l + 0.2l \cdot 22 = 27.9l \quad (6.15)$$

$$\left\{ \begin{array}{l} u_1 = \frac{\Delta_1}{\Delta} = 0.386l = 0.193 \text{ м} \\ u_2 = \frac{\Delta_2}{\Delta} = 2.59l = 1.295 \text{ м} \\ u_3 = \frac{\Delta_3}{\Delta} = 3.786l = 1.893 \text{ м} \\ u_4 = \frac{\Delta_4}{\Delta} = 3.986l = 1.993 \text{ м} \end{array} \right. \quad (6.16)$$

Напряжения вычислим по закону Гука:

$$\sigma_i = E\varepsilon_i = E \cdot \frac{u_2^{(i)} - u_1^{(i)}}{l} \quad (6.17)$$

$$\left\{ \begin{array}{l} \sigma_1 = E \frac{u_2 - u_1}{l} = 2.2E = 1.608 \cdot 10^{11} \text{ Па} \\ \sigma_2 = E \frac{u_3 - u_2}{l} = 1.2E = 8.772 \cdot 10^{10} \text{ Па} \\ \sigma_3 = E \frac{u_4 - u_3}{l} = 0.2E = 1.462 \cdot 10^{10} \text{ Па} \end{array} \right. \quad (6.18)$$

7 Расчет заданной конструкции с использованием пакета MSC Patran_Nastran

Опишем порядок расчета в программном комплексе MSC Patran_Nastran:

1. Создание базы данных

[File] → [New] → [Имя файла: dz2.db] → [Параметры анализа: Tolerance: Default, Analysis Code: MSC.Nastran, Analysis Type: Structural] → [Ok].

2. Создание геометрии модели

Geometry → [Action: Create] → [Object: Curve] → [Method: XYZ] → [Vector Coordinate List: <1.5 0 0>] → [Origin Coordinate List <0 0 0>]

3. Создание сетки конечных элементов

[Meshing] → [Action: Create] → [Object: Mesh] → [Type: Curve] → [Topology: Bar2] → [Curve List: Curve 1] → [Value: 0.5] → [Apply].

4. Сшивание конечных элементов вдоль геометрических границ

[Meshing] → [Action: Equivalence] → [Object: All] → [Method: Tolerance Cube] → [Apply].

5. Задание свойств материала

[Properties] → [Isotropic] → [Action: Create] → [Object: Isotropic] → [Method: Manual Input] → [Material Name: steel] → [Input Properties] → [Elastic Modulus: 7.31e10, Poisson's Ratio: 0.33] → [OK] → [Apply].

6. Создание поперечного сечения

[Tools] → [Beam Library] → [Action: Create] → [Object: Standard Shape] → [Method: Nastran Standard] → [New Section Name: section] → [выбор круглого сечения] → [R1=0.15; R2=0.11] → [OK].

7. Применение созданных свойств к геометрии

[Properties] → [1D Properties] → [Beam] → [Action: Create] → [Object: 1D] → [Type: Beam] → [Property Set Name: bar] → [Input Properties] → [Section name: section; Material Name: aluminium; Bar Orientation: <0 1 0>] → [OK] → [Select Application Region] → [Select: Entities] → [Select members: Curve 1] → [Add] → [OK] → [Apply].

8. Создание пружины

[Properties] → [Action: Create] → [Object: 1D] → [Type: Spring] → [Property Set Name: spring] → [Input Properties] → [Spring constant: 3.344e10; Dof at Node 1: UX; Dof at Node 2: UX] → [OK] → [Select Application Region] → [Select: Entities] → [Select members: Curve 2] → [Add] → [OK] → [Apply].

9. Задание нагрузок, действующих на балку

[Loads/BCs] → [Action: Create] → [Object: Distributed Load] → [Type: Element Uniform] → [New Set Name: raspr] → [Target Element Type: 1D] → [Input Data] → [Distr Load: <4.777e9 0 0>] → [Select Application Region] → [Select: FEM] → [Application Region: Element 1 2] → [Add] → [OK] → [Apply].

[Action: Create] → [Object: Force] → [Type: Nodal] → [New Set Name: F2] → [Input Data] → [Force: <1.194e9 0 0>] → [Select Application Region] → [Select: FEM] → [Application Region: Node 3] → [Add] → [OK] → [Apply].

[Action: Create] → [Object: Force] → [Type: Nodal] → [New Set Name: F3] → [Input Data] → [Force: <4.777e8 0 0>] → [Select Application Region] → [Select: FEM] → [Application Region: Node 4] → [Add] → [OK] → [Apply].

10. Задание граничных условий

[Loads/BCs] → [Action: Create] → [Object: Displacement] → [Type: Nodal] → [New Set Name: dc1] → [Input Data] → [Translations: <0,0,0> Rotations: <0,0,0>] → [OK] → [Select Application Region] → [Select: Geometry] → [Select Geometry Entities: Point 5] → [Add] → [OK] → [Apply]

[Action: Create] → [Object: Displacement] → [Type: Nodal] → [New Set Name: dc2] → [Input Data] → [Translations: <0,0,0> Rotations: <0,0,0>] → [OK] → [Select Application Region] → [Select: Geometry] → [Select Geometry Entities: Point 4] → [Add] → [OK] →

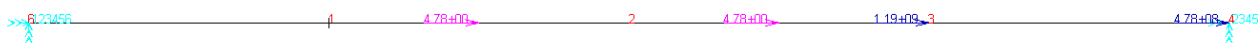


Рисунок 7.1 — Модель стержня

11. Генерация входного файла для расчета в MSC Nastran

[Analysis] → [Action: Analyze] → [Object: Entire Model] → [Method: Full Run] → [Job Name: dz] → [Solution Type: Linear Static] → [Apply].

12. Передача результатов расчета в MSC Patran

[Action: Access Results] → [Object: Attach HDF5 XDB] → [Method: Result Entities] → [Job Name: dz] → [Select Results File: dz.h5 xdb] → [OK] → [Apply].

Получим графики перемещений и нормальных напряжений:

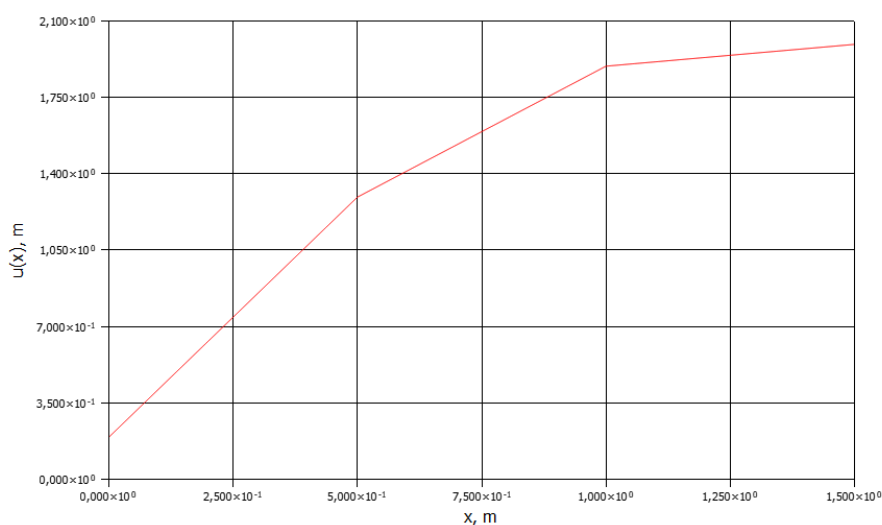


Рисунок 7.2 — График перемещений

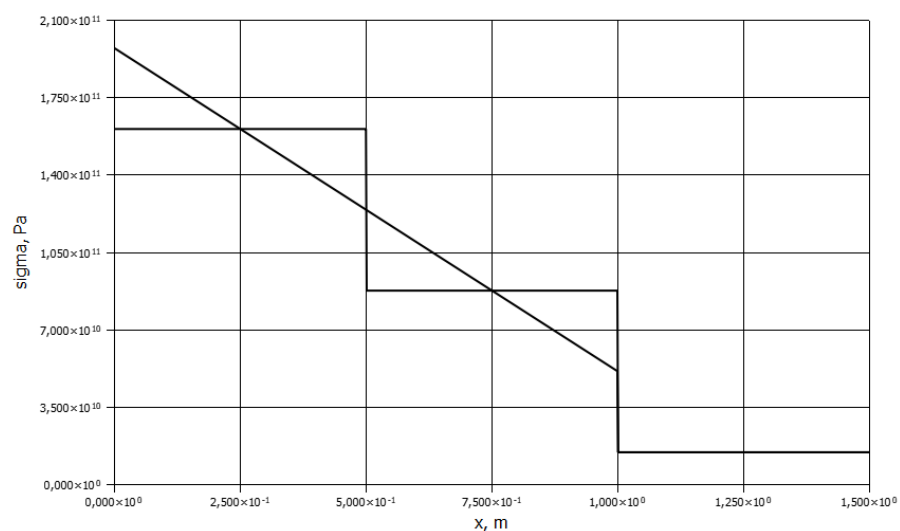


Рисунок 7.3 — График нормальных напряжений

8 Сравнительный анализ результатов, полученных методами, использованными в работе

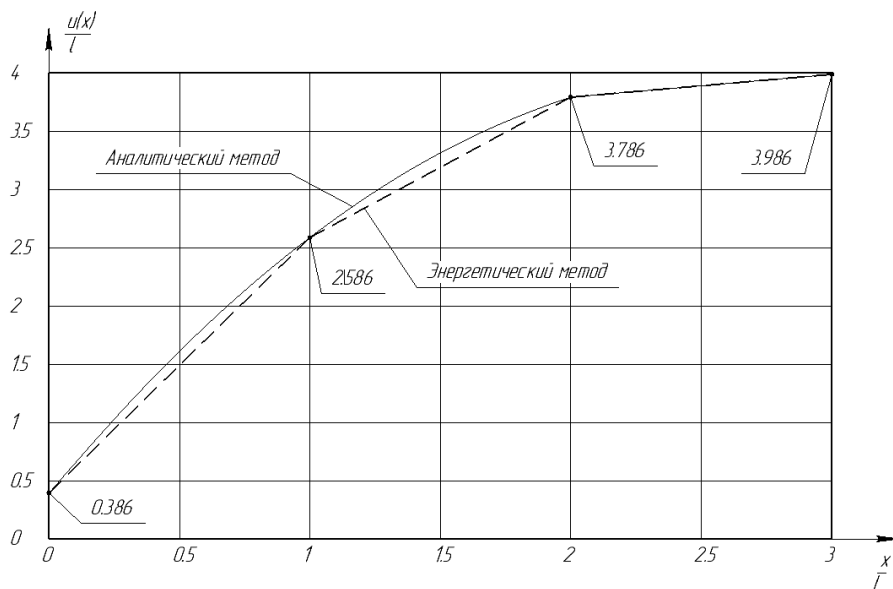


Рисунок 8.1 — Сравнительный график аналитического и энергетического методов нахождения перемещений

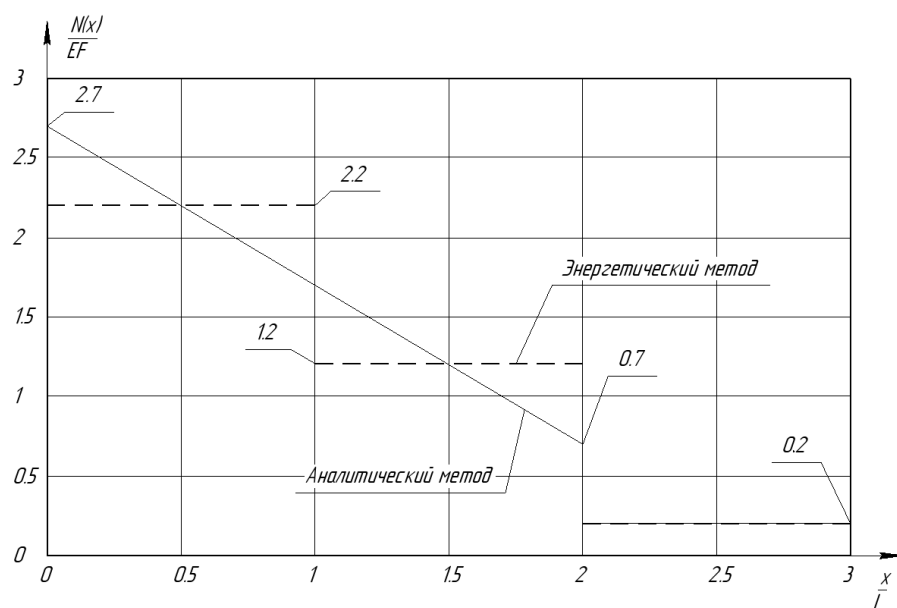


Рисунок 8.2 — Сравнительный график аналитического и энергетического методов нахождения нормальных напряжений

Аналитическое решение дает результат на всем промежутке стержня, в то время как энергетический метод и МКЭ дают результат только в конкретных точках, на которые разбивается модель. Для сравнения методов приведем таблицу со значениями перемещений и нормальных сил, полученными каждым методом:

Таблица 8.1 — Сравнительная таблица перемещений

Координата точки x , м	Аналитический метод	Энергетический метод	Patran
0	0.193	0.192857	0.1928439
0.5	1.293	1.292857	1.292854
1	1.893	1.892857	1.892836
1.5	1.993	1.992857	1.992841

Таблица 8.2 — Сравнительная таблица нормальных напряжений

Координата точки, м	Аналитический метод	Энергетический метод и МКЭ	Patran
0	$1.9737 \cdot 10^{11}$	$1.6082 \cdot 10^{11}$	$1.973735 \cdot 10^{11}$
0.5 – 0	$1.2427 \cdot 10^{11}$	$1.6082 \cdot 10^{11}$	$1.242694 \cdot 10^{11}$
0.5 + 0	$1.2427 \cdot 10^{11}$	$8.772 \cdot 10^{10}$	$1.242694 \cdot 10^{11}$
1 – 0	$5.117 \cdot 10^{10}$	$8.772 \cdot 10^{10}$	$5.116525 \cdot 10^{10}$
1 + 0	$1.462 \cdot 10^{10}$	$1.462 \cdot 10^{10}$	$1.462083 \cdot 10^{10}$
1.5	$1.462 \cdot 10^{10}$	$1.462 \cdot 10^{10}$	$1.462083 \cdot 10^{10}$